



**INSTYTUT BIOTECHNOLOGII
PRZEMYSŁU ROLNO-SPOŻYWCZEGO
im. prof. Wacława Dąbrowskiego
PAŃSTWOWY INSTYTUT BADAWCZY**

ZIARNO PSZENICY

ze zbiorów 2023 r.

**Badania zrealizowane w ramach Zadania 1. : Analiza jakości surowców
rolnych z uwzględnieniem zagrożenia wystąpienia substancji skażających
realizowanych na zlecenie Ministerstwa Rolnictwa Wsi**

ZIARNO PSZENICY

ze zbiorów 2023 r.

Autorzy: dr hab. inż. Marek Roszko, prof. IBPRS
dr hab. inż. Marcin Bryła, prof. IBPRS
inż. Angelika Kosowska
mgr inż. Daria Padewska
mgr Adam Pierzgalski
mgr Weronika Orzechowska
inż. Magdalena Szczepańska
mgr Monika Popowska
mgr inż. Olga Świder
mgr inż. Marta Kowalska

Zakład Bezpieczeństwa i Analizy Chemicznej Żywności
Instytut Biotechnologii Przemysłu Rolno – Spożywczego
im. prof. Wacława Dąbrowskiego
Państwowy Instytut Badawczy

Warszawa, grudzień 2023 r.

1. Wprowadzenie

Prawo żywnościowe Unii Europejskiej jest rygorystyczne w zakresie najwyższych dopuszczalnych poziomów zanieczyszczeń chemicznych w żywności. Jak wskazano w Rozporządzeniu Komisji 2023/915 z dnia 25 kwietnia 2023 r. w sprawie najwyższych dopuszczalnych poziomów niektórych zanieczyszczeń w żywności oraz uchylające rozporządzenie (WE) nr 1881/2006, najwyższe dopuszczalne poziomy zanieczyszczeń powinny być określone na rygorystycznym poziomie, którego osiągnięcie jest rozsądnie możliwe dzięki korzystaniu z dobrych praktyk w zakresie rolnictwa, rybołówstwa i produkcji, oraz z uwzględnieniem ryzyka związanego z konsumpcją żywności. W przypadku możliwego ryzyka dla zdrowia najwyższe dopuszczalne poziomy zanieczyszczeń powinny zostać ustalone na najniższym rozsądnie osiągalnym poziomie.

Żywność zawierająca zanieczyszczenia przekraczające najwyższe dopuszczalne poziomy nie tylko nie powinna być wprowadzana do obrotu jako taka, ale również nie powinna być stosowana jako składnik żywności ani mieszana z żywnością.

Podstawową metodą ograniczania ryzyka występowania niedopuszczalnych zawartości zanieczyszczeń chemicznych w żywności jest strategia ograniczania ich obecności w surowcach rolnych, w tym poprzez stosowaniem dobrych praktyk produkcyjnych. Niemniej obecności licznej grupy zanieczyszczeń chemicznych w surowcach rolnych nie można wyeliminować metodami agrotechnicznymi z uwagi na ich środowiskowy charakter lub nie antropogeniczne źródło powstawania. Stąd też składnikach żywności oraz surowce rolne muszą być w tym zakresie kontrolowane. Nie jest technicznie możliwe wykonywanie badań analitycznych wszystkich partii surowców rolnych wytwarzanych przez krajowe rolnictwo. Nie jest to również uzasadnione z punktu widzenia ryzyka wystąpienia niedopuszczalnych zawartości substancji regulowanych przepisami prawa żywnościowego.

Dlatego też, w ramach prac realizowanych w IBPRS-PIB realizowana jest analiza podstawowych surowców rolnych z uwzględnieniem wystąpienia substancji skażających z krajowych zbiorów, w tym na potrzeby szacowania ryzyka zdrowotnego i w obrocie towarowym.

W ramach prowadzonych dotychczas badań w spektrum substancji skażających znalazły się pozostałości środków ochrony roślin, mykotoksyny, metale ciężkie, wielopierścieniowe węglowodory aromatyczne.

Obecnie europejskie prawo żywnościowe staje się niezwykle restrykcyjne w zakresie stosowania środków ochrony roślin. Z europejskiego rejestru substancji aktywnych środków ochrony roślin dopuszczonych do stosowania wycofywane są liczne (grupy) substancje. Zmianom ulegają również wskazane w prawie maksymalne dopuszczalne pozostałości dla poszczególnych substancji aktywnych. Tym samym poza etykietowe stosowanie środków ochrony roślin lub stosowanie preparatów pochodzących z importu z krajów trzecich może skutkować przekroczeniem maksymalnych dopuszczalnych zawartości. Działania takie mogą stanowić zagrożenie w rozumieniu bezpieczeństwa żywności oraz powodować istotne ryzyko handlowe w obrocie towarowym ziarnem. Wdrażanie założeń europejskich programów i strategii zakłada radykalne ograniczenie m.in. stosowania środków ochrony roślin w krajach członkowskich. Należy spodziewać się, że uprawa roślin w przyszłych sezonach wegetacyjnych z uwagi na konsekwencje zmian klimatycznych będzie trudna również w kontekście występowania mykotoksyn w płodach rolnych. Znajduje to potwierdzenie z informacjach publikowanych w ramach Europejskiego systemu informacji o zagrożeniach w łańcuchach dostaw żywności.

Efektom prac Instytutu realizowanych w ramach zadań jest udostępnienie rolnikom, producentom żywności oraz uczestnikom łańcucha dostaw żywności kompleksowej informacji o jakości surowców rolnych produkowanych przez polskie rolnictwo. Kluczowe jest zapewnienie informacji o ryzyku wystąpienia kluczowych substancji skażających z uwagi na ryzyko w wymianie handlowej surowcami i ryzyko wystąpienia konieczności wycofania produktów lub surowców z rynku.

2. Identyfikacja substancji skażających.

2.1. Mykotoksyny

Mykotoksyny są toksycznymi metabolitami grzybów pleśniowych znajdowanymi w różnych produktach spożywczych na całym świecie. W produktach tych, nierzadko znajdowanych jest więcej niż jeden związek, co może mieć negatywny wpływ na bezpieczeństwo żywności i zdrowie konsumentów (Juan i in. 2016).

Skażenie roślin mykotoksynami ma poważne ekonomiczne konsekwencje dla światowej gospodarki. Szacuje się, że ok. 25% światowej produkcji zbóż i ok. 20% produkcji roślinnej ogółem, może być skażona samymi toksynami grzybów *Fusarium*, a poziom skażenia może różnić się znacznie w zależności od lokalnych warunków geograficznych. Obecność mykotoksyn w żywności i paszach, stwarza więc ogromne ryzyko dla ich bezpieczeństwa (Bryła et al. 2018).

Mykotoksyny mogą podlegać modyfikacjom na skutek warunków środowiska oraz aktywności organizmów. W literaturze najwięcej uwagi poświęca się roślinnym metabolitom mykotoksyn, powstałym w procesach detoksykacji. Związki z tej grupy często nazywane są "zamaskowanymi mykotoksynami" ponieważ nie są one wykrywalne w rutynowych analizach żywności w kierunku oceny zawartości mykotoksyn. Liczne badania prowadzone w ostatnich latach pozwoliły na odkrycie znacznej liczby nieznanych dotąd pochodnych mykotoksyn. Mnogość tych związków stała się przyczyną prób ich klasyfikacji. Zmodyfikowane mykotoksyny powstałe wskutek degradacji lub trawienia związków macierzystych często cechują się zmniejszoną toksycznością lub nawet nie wykazują żadnych efektów toksycznych. W zależności od mykotoksyny proces ten może mieć różne mechanizmy, wśród których wymienia się utratę grup funkcyjnych warunkujących toksyczność i zmniejszoną biodostępność. Jednocześnie nie brakuje badań wskazujących na wyższą toksyczność pochodnych mykotoksyn w porównaniu z ich podstawowymi analogami. Jednym z głównych problemów z oceną toksyczności mykotoksyn i współwystępującymi z nimi zmodyfikowanymi formami w żywności jest wysoce prawdopodobna interakcja pomiędzy nimi w środowisku *in vivo*. Może ona prowadzić do zwiększenia toksyczności jej komponentów poprzez wywoływanie efektu synergistycznego. Wykazano także, że część pochodnych mykotoksyn jest absorbowana w jelitach w znacznie większym stopniu w odniesieniu do związków, z których powstały.

2.2. Pozostałości środków ochrony roślin

Pestycydy obejmują ogromną liczbę substancji chemicznych o zróżnicowanej strukturze i właściwościach fizykochemicznych. Są substancjami, które z racji swojej natury mogą stanowić istotne zagrożenie dla zdrowia ludzi i zwierząt. Obecność pestycydów w żywności jest konsekwencją stosowania konwencjonalnych metod ochrony roślin w rolnictwie. Zabiegi agrotechniczne stosowane w ochronie roślin mogą ponadto

powodować przedostawanie się substancji aktywnych środków ochrony roślin do gleby i wody.

2.3. Metale ciężkie

Zawartość składników mineralnych, w tym metali ciężkich w ziarnie zbóż, podobnie jak i w innych płodach rolnych jest zależna od szeregu czynników środowiskowych. Czynniki te, to m.in. zasobność gleby w składniki mineralne, odczyn gleby i warunki klimatyczne, a w przypadku kadmu i ołowiu istotny wpływ na ich zawartość może mieć bliskość dróg szybkiego ruchu czy większych aglomeracji miejskich czy zakładów przemysłowych.

Pierwiastki śladowe, w tym również należące do grupy metali ciężkich, występują w sposób naturalny w każdym środowisku w ilościach odpowiadających wartości tzw. *tła naturalnego*. Rośliny są głównym odbiorcą składników mineralnych z gleby i jednocześnie głównym ich źródłem w żywieniu zwierząt i ludzi.

2.4 Wielopierścieniowe węglowodory aromatyczne

Cząsteczki WWA składają się z wielu skondensowanych pierścienie aromatycznych tworzących struktury płaskie. Powstają w wyniku niecałkowitego spalania materii zawierającej węgiel, w tym materii organicznej. WWA znajdują się również w ropie naftowej, w związku z tym ich obecność w surowcach rolnych może być związana z wydobyciem / produkcją i przetwarzaniem ropy naftowej (WWA pochodzenia petrogenicznego). WWA są wysoce tłuszczo rozpuszczalne, ze wartościami współczynników podziału oktanol/woda (wyrażone jako log o/w) przekraczające 3 i są chemicznie umiarkowanie obojętne. Przyjmuje się, że powietrze atmosferyczne jest główną drogą skażenia rośliny przez WWA poprzez opad atmosferyczny pyłów zawieszonych. Migracja WWA z powietrza do roślin zależy od kilku czynników, są to m.in. obecność woskowatego naskórka lub obecność w ich składzie związków zdolnych do tworzenia kompleksów z cząsteczkami WWA. Dostępne dane wskazujące również ma inną możliwą trasę zanieczyszczenia - absorpcję WWA przez system korzeniowy roślin. Niemniej wskazuje się na ograniczone znaczenie tej drogi zanieczyszczenia. WWA są substancjami niebezpiecznymi.

3. Metodyka badań

3.1. Liczba próbek do badań

W ramach programu badań realizowanego we współpracy z Zakładem Przetwórstwa Zbóż i Piekarstwa IBPRS-PIB zgromadzono kilkaset próbek ziarna pszenicy z czego 98 poddano badaniom w kierunku obecności substancji skażających. Próbki do badań pochodziły z elewatorów zbożowych i firm zajmujących się przetwórstwem ziarna pszenicy ze zbiorów z roku 2023. Próbki pochodziły z różnych rejonów klimatyczno-uprawowych, przyjętych przez Centralny Ośrodek Badania Roślin Uprawnych (COBORU) dla potrzeb oceny odmian w Polsce. Badania prowadzono zgodnie z metodykami opublikowanymi wcześniej przez autorów (Roszko i wsp. 2014, 2018, 2020).

Stosowane oznaczenia : ace – acenaften, acy – acenaftylen, ant – antracen, B[a]A – benzo[a]antracen, b[a]p – benzo[a]pyrene, b[b]fl – benzo[b]fluoranthren, b[c]f – benzo[c]fluoren, b[c]phe – benzo[c]fenantren, b[g,h,i]p – benzo[g,h,i]pyrelen, b[j]fl – benzo[j]flurantren, b[k]fl – benzo[k]fluorantren, Chr – chryzen, CP[c,d]P – cyclopenta[c,d]piren, db[a,h]a – dibenzo[a,h]antracen, db[a,e]pyr – dibenzo[a,e]pyrelen, db[a,h]pyr – dibenzo[a,h]pyrelen, db[a,i]pyr – dibenzo[a,i]pyrelen, db[a,l]pyr – dibenzo[a,l]pyrelen, flu – fluoren, i[c,d]p – indeno[c,d]piren, nap – naftalen, phe – fenantren, pyr – piren.

4. Wyniki badań, analiza ryzyka i rekomendacje.

4.1. Zawartość mykotoksyn w ziarnie pszenicy ze zbiorów 2023 roku

Najczęściej wykrywanymi mykotoksynami w ziarnie pszenicy były toksyny T-2 i HT-2. Odsetek próbek pozytywnych w których stwierdzono obecność tych związków wynosił 32% a ich średnia sumaryczna zawartość kształtowała się na poziomie 17,9 µg/kg (10-86,1). DON obecny był w przypadku 15% próbek na średnim poziomie 101,8 µg/kg (52,3–379,1) natomiast NIV występował w 13% próbek na średnim poziomie 108,6 (50,4-244,7). W żadnej z badanych próbek zawartość ZEN nie przekroczyła granicy oznaczalności (5 µg/kg).

Częstość występowania metabolitów toksyn była niższa, niż częstość występowania ich macierzystych toksyn. Dla DON-3G, NIV-3G i HT-2-3β-G odnotowano po jednej próbce pozytywnej (1%), w których zawartość badanych toksyn wynosiła kolejno: 51; 77,8 i 4,9

µg/kg. Pozostałe badane metabolity nie występowały w stężeniu powyżej granicy oznaczalności (tabela 1).

Tabela 1. Zbiorcze zestawienie zawartości mykotoksyn w badanych próbkach pszenicy.

Toksyna	Pozytywnych	Średnia	Mediana	Min	Max	%MAX NDZ
		[ug/kg]				
DON	15	101,8	72,5	52,3	379,1	30
DON-3G	1	51	51	51	51	
NIV	13	108,7	81	50,4	244,7	
NIV-3G	1	77,8	77,8	77,8	77,8	
T-2	1	19,1	19,1	19,1	19,1	
HT-2	32	17,3	14,1	10	67	
T-2+HT-2	32	17,9	14,1	10	86,1	86
T-2-3α-G	0	-	-	-	-	
T-2-3β-G	0	-	-	-	-	
HT-2-3α-G	0	-	-	-	-	
HT-2-3β-G	1	4,9	4,9	4,9	4,9	
ZEN	0	-	-	-	-	-
ZEN-14G	0	-	-	-	-	
ZEN-14S	0	-	-	-	-	

W tabeli 2 przedstawiono maksymalne dopuszczalne zawartości w ziarnie pszenicy w odniesieniu do toksyn *Fusarium*. W żadnej z badanych próbek nie odnotowano przekroczenia dopuszczalnych maksymalnych zawartości DON, ZEN oraz sumy T-2 i HT-2 (tabela 2). W przypadku sumy toksyn T-2 i HT-2 tylko w jednej próbce (1%) ich zawartość przekroczyła 0,5*NDZ i osiągnęła 86,1 µg/kg. W przypadku pozostałych toksyn, ich częstość występowania i poziomy zawartości kształtowały się na względnie niskim poziomie.

Tabela 2. Zawartości mykotoksyn w badanych próbkach pszenicy w stosunku do których określono maksymalne dopuszczalne zawartości.

Toksyna	% próbek pozytywnych	NDZ [ug/kg]	% próbek > NDZ	% próbek > 0,5 NDZ	Maksymalny %NDZ
DON	15	1250	0	0	30
T2+HT2	32	100*	0	1	86
ZEN	0	100	0	0	-

*Poziom wskaźnikowy dla sumy T-2 i HT-2 wg Zalecenia Komisji z dnia 27 marca 2013 r. w sprawie obecności toksyn T-2 i HT-2 w zbożach i produktach zbożowych.

W próbkach pszenicy w których zawartość badanych toksyn była na poziomie poniżej wartości LOQ, przyjęto założenie, że zawartość ta w odniesieniu do wszystkich toksyn wynosi $0,5 * LOQ$. Tym samym, w przypadku toksyn o relatywnie niskim odsetku próbek zawierających toksyny powyżej poziomu LOQ, średnia zawartość tych toksyn w pszenicy była niższa w porównaniu z zawartością tych toksyn w próbkach pozytywnych (powyżej LOQ) (tabela 1 - 4).

Tabela 3. Zbiorcze zestawienie zawartości mykotoksyn w badanych próbkach pszenicy, wyniki przedstawiono jako środkowa granica oznaczenia ($<LOQ = 0,5*LOQ$).

Toksyna	Średnia [µg/kg]	Mediana	Min	Max	% MAX NDZ
DON	36,5	25	25	379,1	30
DON-3G	25,3	25	25	51	
NIV	35,9	25	25	244,7	86
NIV-3G	25,5	25	25	77,8	
T2	2,7	2,5	2,5	19,1	2,5
HT-2	8,9	5	5	67	
T2+HT2	11,6	7,5	7,5	86,1	86
T-2-3α-G	2	2	2	2	
T-2-3β-G	2	2	2	2	2,5
HT-2-3α-G	2	2	2	2	
HT-2-3β-G	2	2	2	4,9	
ZEN	2,5	2,5	2,5	2,5	2,5
ZEN-14G	10	10	10	10	
ZEN-14S	10	10	10	10	

Tabela 4 Zawartości mykotoksyn w badanych próbkach pszenicy w stosunku do których określono maksymalne dopuszczalne zawartości, wyniki przedstawiono jako środkowa granica oznaczenia ($<LOQ = 0,5*LOQ$).

Toksyna	NDZ [µg/kg]	% próbek > NDZ	% próbek > 0,5 NDZ	Maksymalny % NDZ
DON	1250	0	0	30
T2+HT2	100*	0	1	86,1
ZEN	100	0	0	2,5

*Poziom wskaźnikowy dla sumy T-2 i HT-2 wg Zalecenia Komisji z dnia 27 marca 2013 r. w sprawie obecności toksyn T-2 i HT-2 w zbożach i produktach zbożowych.

4.2. Pozostałości pestycydów w ziarnie pszenicy.

W badanych 98 próbkach ziarna pszenicy wykonano oznaczenia pozostałości środków ochrony roślin różnych grup chemicznych (patrz wykaz substancji aktywnych). Dodatkowo w 25 badanych próbkach wykonano oznaczenia pozostałości glifosatu.

Na podstawie przeprowadzonych badań wykazano obecność pozostałości w 10% badanych próbek. Wszystkie próbki zawierały nie więcej niż 2 substancje aktywne. Większość badanych próbek zawierała pozostałości jednej substancji aktywnej. W żadnym z analizowanych przypadków nie stwierdzono przekroczenia dopuszczalnej maksymalnej pozostałości badanych pestycydów. Z największą częstotliwością obserwowano pozostałości tebukonazolu – substancje aktywnej fungicydów zarejestrowanej i dopuszczonej do stosowania w uprawie zbóż.

Oznaczone pozostałości pestycydów były generalnie na niskim poziomie (0,01 – 0,07 mg kg⁻¹) oscylujące blisko granicy oznaczalności stosowanej metody wynoszącej 0,01 mg kg⁻¹ (tabela 4 i 5).

Tabela 5 Pozostałości pestycydów w badanych próbkach pszenicy.

Substancja	Liczba próbek	Liczba s.a.*	Próbek z pozostałościami [n]	Próbek z pozostałościami [%]	Liczba próbek zawierających 1 s.a.	Liczba próbek zawierających 2 s.a.	Liczba próbek zawierających 3+ s.a.	Liczba próbek z przekroczeniami NDP*	Liczba próbek ≥ 0,5 NDP
Pestycydy z wyłączeniem glifosatu	98	3	10	10%	7	3	0	0	0
Glifosat	25		2	8%				0	0

Pozostałości glifosatu wykryto w dwu badanych próbkach, wykryte pozostałości nie przekraczały stężenia 0,01 mg kg⁻¹. Maksymalna dopuszczalna wartość pozostałości tej substancji w ziarnie pszenicy wynosi 10 mg/kg.

Tabela 6 Substancje aktywne pestycydów wykryte w badanych próbkach pszenicy.

L.p.	Substancja aktywna	n	Zawartość [mg kg ⁻¹]		NDP [mg kg ⁻¹]	Maksymalny % NDP
			min	max		
1	tebuconazol	6	0,01	0,01	0,3	3%
2	pirymifos metylowy	4	0,01	0,07	5	1%
3	azoksystrobina	3	0,02	0,02	0,5	4%

4.3 Wielopierścieniowe węglowodory aromatyczne

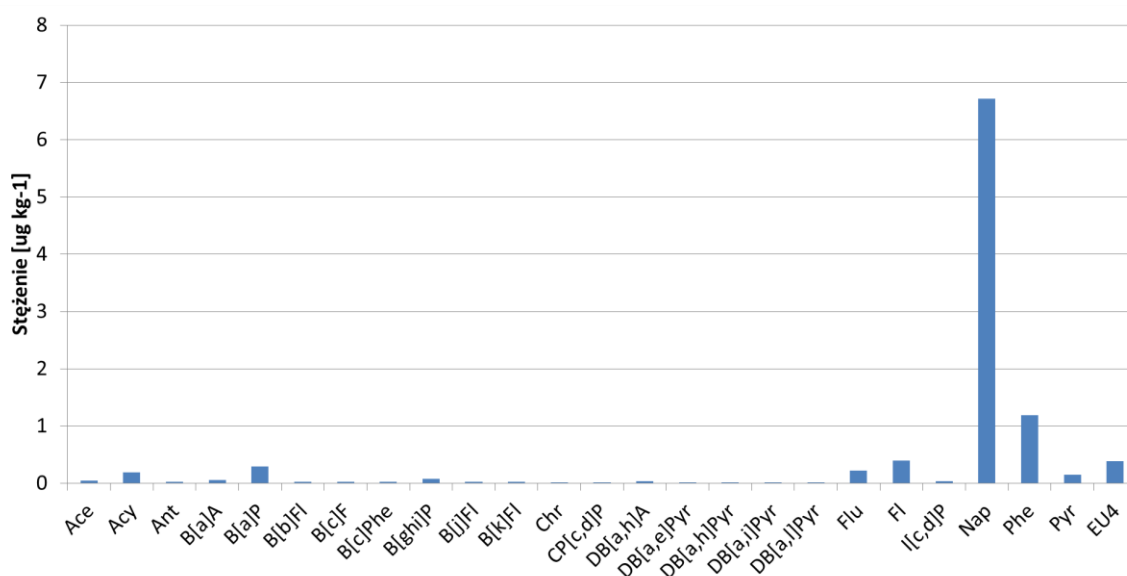
Zbiorcze dane uzyskane na podstawie przeprowadzonych badań przedstawiono w Tabeli 5 - 6. Zawartości badanych substancji obliczono jako dolna granica oznaczalności przyjmując wartości poniżej granicy oznaczalności jako równe zero. Zawartości przedstawiono również jako środkowa granica oznaczalności przyjmując wartości poniżej granicy jako równe stężeniom odpowiadającym połowie granicy oznaczalności. Badania obecności zanieczyszczeń środowiskowych w żywności przyjmują założenie, że wszystkie badane substancje są obecne w żywności a niemożność ich oznaczenia ilościowego wynika wyłącznie z ograniczeń stosowanych metod analitycznych.

W badanym materiale niezależnie od gatunku stwierdzano obecność w przeważającej ilości obecność niskocząsteczkowych węglowodorów aromatycznych z przewagą naftalenu, fenantrenu, fluorenu, acenaftenu, acenaftylenu, fluorantrenu, pirenu i antracenu. Ogólnie obserwowane poziomy zawartości węglowodorów można uznać za niskie.

Obowiązujące rozporządzenie Komisji Europejskiej 2023/915 nie określa maksymalnych dopuszczalnych zawartości wielopierścieniowych węglowodorów aromatycznych w ziarnie zbóż. W odniesieniu do powyższego rozporządzenia określono dopuszczalne zawartości dla przetworzonej żywności na bazie zbóż przeznaczonej do żywienia niemowląt i małych dzieci. Dla powyższej kategorii maksymalna zawartość benzo[a]pirenu oraz sumy wskaźnikowych węglowodorów określona została na poziomie 1 ug kg⁻¹. Maksymalne zawartości benzo[a]pirenu obliczone jako środkowa granica oznaczalności w żadnej z badanych próbek nie przekroczyła wartości 1 ug kg⁻¹.

Na tej podstawie można wnioskować, że ziarno pszenicy jest pod tym względem bezpieczne dla konsumentów a obecność węglowodorów aromatycznych nie stanowi istotnego zagrożenie również dla jego obrotu towarowego.

Profil węglowodorów (Rys 1 i Rys 2) oraz wzajemne stosunki poszczególnych substancji są wskaźnikiem źródeł zanieczyszczenia materiału roślinnego węglowodorami aromatycznymi. Na rysunku 2 pokazano rycinę przedstawiającą stosunek zawartości fluorantrenu do sumy fluorantrenu oraz pirenu w odniesieniu do stosunku antracenu do sumy antracenu i fenantrenu obliczony dla wszystkich badanych próbek. Uzyskane wyniki wskazują na zanieczyszczenie zależne od produktów ropopochodnych. Dodatkowo literatura wskazuje, że wysokie zawartości naftalenu mogą wskazywać na zanieczyszczenie będące wynikiem emisji spalin z transportu drogowego.



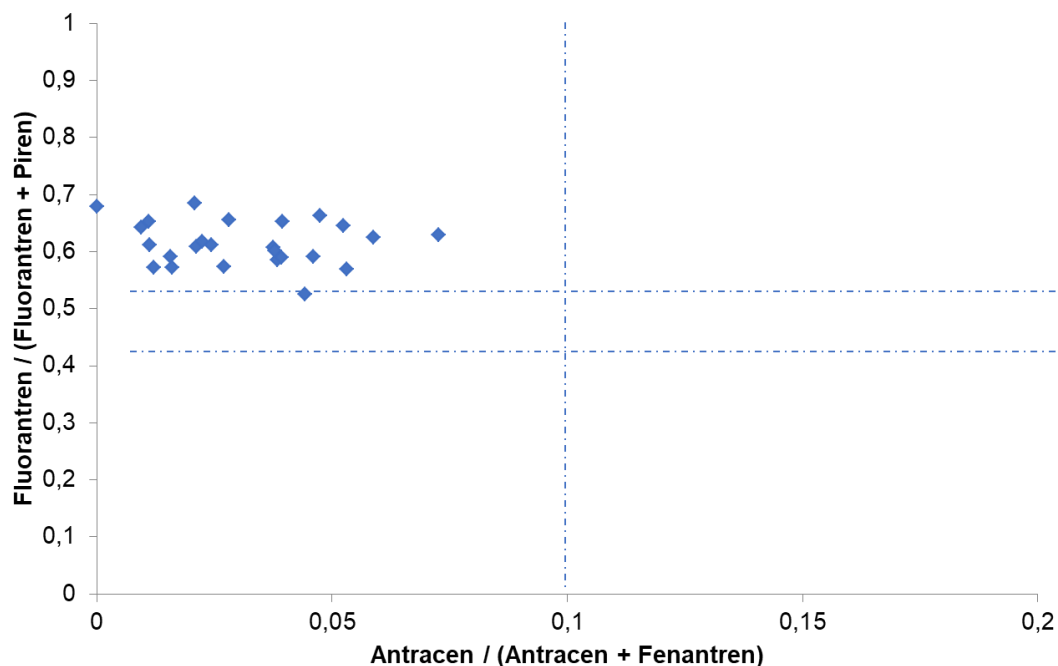
Rys 1. Profil węglowodorów aromatycznych w ziarnie pszenicy.

Tabela 5 Zawartość węglowodorów aromatycznych w ziarnie pszenicy (dolna granica oznaczenia) [$\mu\text{g kg}^{-1}$]

Związek	Średnia	Mediana	Min	Max	Odchylenie standardowe
Ace	0,048	0,033	0,000	0,236	0,046
Acy	0,195	0,138	0,000	0,708	0,154
Ant	0,034	0,036	0,000	0,062	0,016
B[a]A	0,060	0,061	0,015	0,154	0,031
B[a]P	0,293	0,258	0,021	0,966	0,237
B[b]Fl	0,000	0,000	0,000	0,000	0,000
B[c]F	0,000	0,000	0,000	0,000	0,000
B[c]Phe	0,000	0,000	0,000	0,000	0,000
B[ghi]P	0,000	0,000	0,000	0,000	0,000
B[j]Fl	0,000	0,000	0,000	0,000	0,000
B[k]Fl	0,000	0,000	0,000	0,000	0,000
Chr	0,017	0,015	0,000	0,052	0,012
CP[c,d]P	0,001	0,000	0,000	0,012	0,003
DB[a,h]A	0,000	0,000	0,000	0,000	0,000
DB[a,e]Pyr	0,000	0,000	0,000	0,000	0,000
DB[a,h]Pyr	0,000	0,000	0,000	0,000	0,000
DB[a,i]Pyr	0,000	0,000	0,000	0,000	0,000
DB[a,l]Pyr	0,000	0,000	0,000	0,000	0,000
Flu	0,227	0,198	0,138	0,621	0,110
Fl	0,396	0,328	0,149	1,337	0,241
I[c,d]P	0,000	0,000	0,000	0,000	0,000
Nap	6,717	5,553	0,859	25,033	5,550
Phe	1,185	1,010	0,617	3,714	0,682
Pyr	0,147	0,126	0,065	0,465	0,088
EU4	0,370	0,303	0,075	1,047	0,254

Tabela 6 Zawartość węglowodorów aromatycznych w ziarnie pszenicy (średkowa granica oznaczenia) [$\mu\text{g kg}^{-1}$].

Związek	Średnia	Mediana	Min	Max	Odchylenie standardowe
Ace	0,045	0,020	0,020	0,236	0,047
Acy	0,195	0,138	0,020	0,708	0,153
Ant	0,032	0,036	0,018	0,062	0,015
B[a]A	0,056	0,035	0,035	0,154	0,031
B[a]P	0,293	0,258	0,043	0,966	0,238
B[b]Fl	0,028	0,028	0,028	0,028	0,000
B[c]F	0,028	0,028	0,028	0,028	0,000
B[c]Phe	0,028	0,028	0,028	0,028	0,000
B[ghi]P	0,080	0,080	0,080	0,080	0,000
B[j]Fl	0,028	0,028	0,028	0,028	0,000
B[k]Fl	0,028	0,028	0,028	0,028	0,000
Chr	0,016	0,010	0,010	0,052	0,011
CP[c,d]P	0,013	0,013	0,013	0,013	0,000
DB[a,h]A	0,043	0,043	0,043	0,043	0,000
DB[a,e]Pyr	0,020	0,020	0,020	0,020	0,000
DB[a,h]Pyr	0,020	0,020	0,020	0,020	0,000
DB[a,i]Pyr	0,020	0,020	0,020	0,020	0,000
DB[a,l]Pyr	0,020	0,020	0,020	0,020	0,000
Flu	0,227	0,198	0,138	0,621	0,110
Fl	0,396	0,328	0,149	1,337	0,241
I[c,d]P	0,040	0,040	0,040	0,040	0,000
Nap	6,717	5,553	0,859	25,033	5,550
Phe	1,185	1,010	0,617	3,714	0,682
Pyr	0,147	0,126	0,065	0,465	0,088
EU4	0,389	0,339	0,129	1,041	0,255



Rys. 2 Rozkład wartości diagnostycznych dla stężeń węglowodorów aromatycznych w ziarnie pszenicy.

4.4 Zawartość metali ciężkich w ziarnie pszenicy ze zbiorów 2022 roku

Uzyskane wyniki zawartości metali ciężkich w próbkach pszenicy ze zbiorów 2022 roku przedstawiono w sposób zbiorczy w tabeli 7 - 9. W tabeli 8 przedstawiono dane dotyczące zawartości metali ciężkich w odniesieniu do przyjętych najwyższych dopuszczalnych zawartości.

Tabela 7. Zawartość metali ciężkich w badanych próbkach pszenicy, dolna granica oznaczenia.

Pierwiastek	NDZ [mg kg ⁻¹]	Próbki o stężeniu						Maks %NDZ
		≥ NDZ		≥ 0,5 NDZ		≥ 0,25 NDZ		
Ołów	0,200	0	0%	6	6%	13	13%	99%
Kadm	0,100	0	0%	31	32%	56	57%	92%

Tabela 8 Zakres zawartości metali ciężkich w badanych próbkach pszenicy, dolna granica oznaczenia.

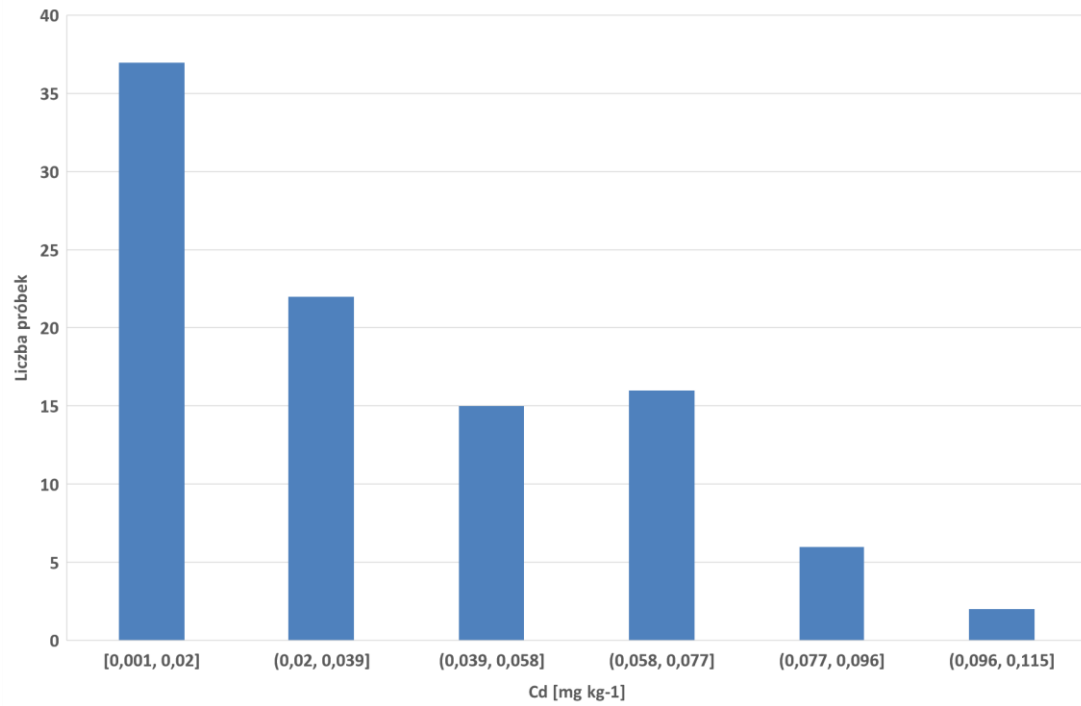
Pierwiastek	n	> LOQ		Zawartość [mg kg ⁻¹]			
				min	max	mediana	średnia
Ołów	98	75	76%	0,000	0,184	0,011	0,023
Kadm	98	93	95%	0,003	0,099	0,0315	0,036
Arsen	98	4	4%	0,000	0,030	0,000	0,001
Rtęć	98	2	2%	0,000	0,001	0,000	0,000

Na podstawie uzyskanych wyników można stwierdzić, że:

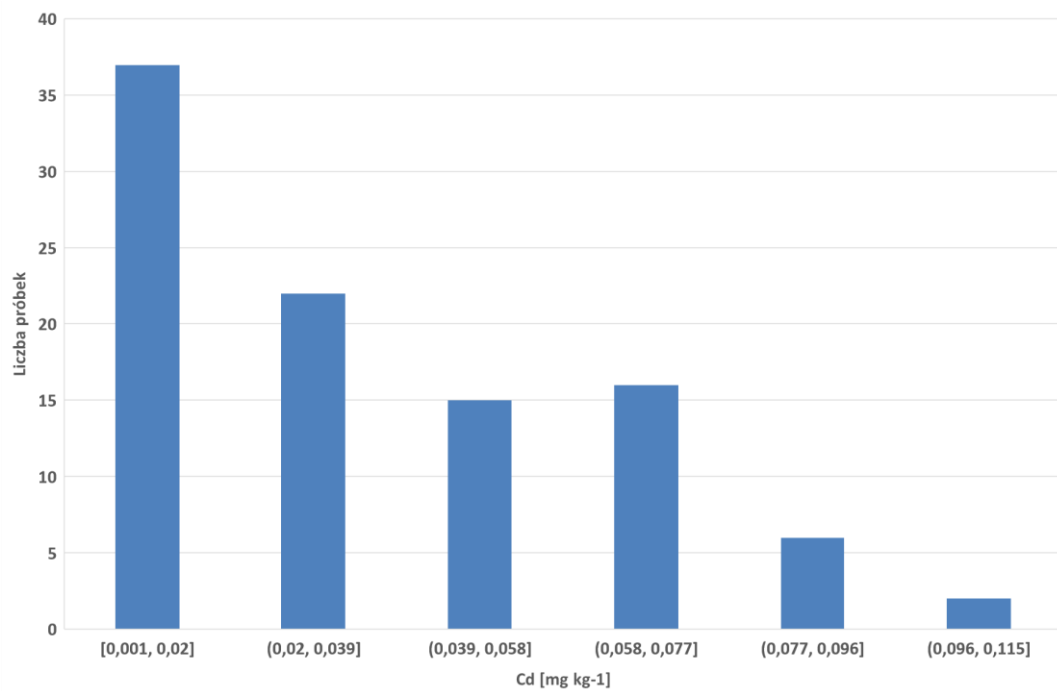
- Zawartość kadmu wahała się w od poniżej wartości 10 µg/kg do 99 µg/kg; średnio 36 µg/kg. W żadnej z badanych próbek nie stwierdzono przekroczenia najwyższej dopuszczalnej zawartości dla kadmu wynoszącej 100 µg/kg. Niemniej uwzględniając niepewność pomiaru analityczne wartość stężenia nie spełnia obecnie obowiązujących wymagań prawa żywnościowego.
- Zawartość ołowiu wahała się od poniżej wartości 10 µg/kg do 184 µg/kg; średnio 23 µg/kg. W żadnej z badanych próbek nie stwierdzono przekroczenia najwyższej dopuszczalnej zawartości dla kadmu wynoszącej 200 µg/kg. Podobnie jak w przypadku kadmu, uwzględniając niepewność pomiaru analityczne wartość stężenia nie spełnia obecnie obowiązujących wymagań prawa żywnościowego.
- W przypadku ołowiu i kadmu stwierdzono przypadki zawartości wynoszące odpowiednio 76 i 95% dopuszczalnej zawartości.
- Arsen stwierdzono w niskich zawartościach w 4% badanych próbek natomiast rtęć w 2% badanych próbek powyżej granicy oznaczalności.

Tabela 9 Zakres zawartości metali ciężkich w badanych próbkach pszenicy, wyniki przedstawiono jako środkowa granica oznaczenia (<LOQ = 0,5*LOQ).

Pierwiastek	n	> LOQ		Zawartość [mg kg ⁻¹]			
				min	max	mediana	średnia
Ołów	98	75	76%	0,005	0,184	0,011	0,025
Kadm	98	93	95%	0,005	0,099	0,031	0,036
Arsen	98	4	4%	0,005	0,030	0,005	0,0015
Rtęć	98	2	2%	0,0005	0,001	0,0005	0,00051



Rys. 3 Rozkład stężeń ołowiu w badanych próbkach pszenicy.



Rys. 4 Rozkład stężeń kadmu w badanych próbkach pszenicy.

5. Podsumowanie

- W próbkach pszenicy odnotowano obecność DON w 15% przypadków na relatywnie niskim poziomie, tj. średnio 101,8 µg/kg (52,3 – 379,1 µg/kg). W żadnym przypadku nie odnotowano przekroczenia maksymalnej dopuszczalnej zawartości. Metabolit DON, tj. DON-3G stwierdzono w jednej próbce (1%) w stężeniu 51 µg/kg.
- NIV stwierdzono w przypadku 13% próbek, a jego średnia zawartość była porównywalna ze średnią zawartością DON (średnio 108,6 µg/kg, 50,4 – 244,7 µg/kg). Metabolit NIV-3G zidentyfikowano tylko w jednym przypadku (1%) w stężeniu 77,8 µg/kg.
- ZEN, nie był obecny w badanych próbkach pszenicy.
- Zawartości toksyn HT-2 i T-2 w próbkach pszenicy, były na relatywnie niskim poziomie. Należy jednak nadmienić, że im wyższa zawartość toksyn HT-2 i T-2, tym wyższa zawartość ich glukozydów i wyższa całkowita zawartość toksyn HT-2 i T-2.
- W badanych próbkach pszenicy nie obserwowano istotnych poziomów pozostałości środków ochrony roślin.
- Nie stwierdzono istotnych pozostałości glifosatu w badanych próbkach pszenicy.
- Wielopierścieniowe węglowodory aromatyczne występują w niskich i bezpiecznych z punktu widzenia zdrowotnego stężeniach w ziarnie pszenicy.
- Badane próbki pszenicy były generalnie wolne od zanieczyszczenia arsenem i rtęcią.
- Stwierdzono niezgodność pojedynczych próbek z wymaganiami prawa żywnościowego w zakresie dopuszczalnych zawartości kadmu (5% próbek) i ołowiu (3% próbek) w badanych próbkach pszenicy. Zawartości metali ciężkich przy uwzględnieniu niepewności pomiaru stosowanych metod analitycznych przekraczały najwyższe dopuszczalne zawartości.

Załącznik 1. Badane substancje aktywne środków ochrony roślin.

	2,4'-Metoksychlor	C	Cesmedifam	Difenylamina
	4,4'-Metoksychlor olefin		Chinoklamina	Diflubenzuron
A	Abamektyna		Chinoksyfen	Diflufenikan
	Acekwinocyl		Chinomerak	Diklobutrazol
	Acetamipryd		Chizalofop-p-etylu	Dimetachlor
	Akrynatryna		Chizalofop-p-tefurylu	Dimetenamid_p
	Alankarb		Chlomazon	Dimetoat
	Aldikarb		Chlorantraniliprol	Dimetomorf
	Aldikarbu sulfon		Chlorbensid	Dimoksystrobin
	Aldikarbu sulfotlenek		Chlordan alfcis	Dinikonazol
	Aldryna		Chlordan gammtrans	Disulfoton
	Alletryna		Chlorfenson	Dodyna
	Ametokradyna		Chlorfenwinfos	E
	Amisulbrom		Chloridazon	Edifenfos
	Antrachinon		Chloroneb	Enamektyna
	Atrazyna		Chlorotalonil	Endosulfan alfa
	Azadyrachtyna A		Chlorpiryfos-etylowy	Endosulfan beta
	Azoksystrobin		Chlorpiryfos-metylowy	Endosulfan eter
B	Beflubutamid		Chlorprofam	Endosulfan siarczan
	Benfurakarb		Chlorsulfuron	Endryna
	Bensulfuron metylu		Chlortiofos	Endryny Aldehyd
	Bentazon		Cyflumetofen	Endryny Keton
	Bentiowalikarb izopropylowy		Cyflutryna	Epoksykonazol
	Benzowindylflupyr		Cyjanotraniliprol	Esfenvalerat
	Benzyloadenina		Cyjazofamid	Etakonazol
	Benzyloamino puryna		Cymoksanil	Etofumesat
	Bifenoks		Cypermetryna	Etiofenkarb
	Bifentryna		Cyprodinil	Etion
	Biksafen		Cyprokonazol	Etirimol
	Bitertanol	D	DDD p,p`	Etofenproks
	Boskalid (Nikobifen)		DDD, o,p`	Etoksazol
	Bromfenwinfos		DDE o,p`	Etrimfos
	Bromfenwinfos-metylu		DDE p, p`	F
	Bromofos-etylu		DDT o,p`	Famoksadon
	Bromofos-metylu		DDT p,p`	Fenamidon
	Bromoksynil		Deltametryna	Fenamifos
	Bromopropylat		Diazynon	Fenarimol
	Bromukonazol		Dichlofluanid	Fenbukonazol
	Bupiryamat		Dichloro-benzofenon, 4, 4`	Fenchlorfos
	Butokarboksym		Dichlorfos (DDVP)	Fenheksamid
	Butoksykarboksym		Dieldryna	Fenitrotion
	Butotlenek piperonylu		Difenokonazol	Fenmedifam
				Fenoksaprop-etylu
				Fenotryna

Fenpropidyna		Hymeksazol		Metoksychlor A
Fenpropimorf	I	Imazalil		Metoksyfenozyd
Fenpyroksymat		Imazamoks		Metomyl
Fenson		Imidaklopryd		Metrafenon
Fention		Indoksakarb		Metrybuzyna
Fenwalerat		Iodofenfos		Metsulfuron metylu
Fipronil		Ipkonazol		Metydation
Flonikamid		Iprodion		Mewinfos
Florasulam		Isoproturon		Mezosulfuron metylu
Fluazifop-P-butylu		Izodrin		Mezotrion
Fluazinam		Izoksafutol		Milbamektyna A3
Fluchinkonzol		Izopyrazam		Milbamektyna A4
Flucytrynat	J	Jodosulfuron-metylu		Mireks
Fludioksonil	K	Kaptan		Myklobutanil
Flufenacet		Karbendazym	N	Napropamid
Fluksapyroksad		Karbofenotion		Nikosulfuron
Fluoksastrobina		Karboksyna		Nonachlor-cis
Flupiradifuron		Karfentrazon-etylu		Nonachlor-trans
Flupyrsulfuron-metylu		Kletodym		Nuarimol
Flurochloridon		Klofentezyna	O	Oksadiksyl
Fluroksypyr meptylu		Klopyralid		Oksamyl
Flusilazol		Klotianidyna		Oksyfluorfen
Flutolanil		Krezoksym-metylu	P	Paklobutrazol
Flutriafol		Kumafos		Paration (etylowy)
Folpet		Kwintozen		Paration (metylowy)
Fonofos	L	Laktofen		Pencykuron
Foramsulfuron		Lambda cyhalotryna		Pendimetalina
Forat		Lenacil		Penflufen
Fosalon		Leptofos		Penkonazol
Fosfamidon		Linuron		Penoksulam
Fosmet	M	Malation		Pentachloroanisol
Fostiazat		Mandipropamid		Pentachlorobenzen
Fuberidazol		Mefentriflukonazol		Pentachlorotioanisol
Furatiokarb		Mekarbam		Permetryna
H		Mepanipiryum		Pertan (Etylan)
Haloksyfop-metylu		Metabenziazuron		Petoksamid
HCH, Alfa		Metabromuron		Pikoksystrobina
HCH, Beta		Metakrifos		Pikolinafen
HCH, delta		Metalaksyl		Pimetrozyna
HCH, gamma		Metalaksyl		Pinoksaden
Heksachlorobenzen-HCB		Metamidofos		Pirydat
Heksakonazol		Metamitron		Pirymetanil
Heksytiazoks		Metazachlor		Pirykofos-metylowy
Heptachlor		Metiokarb		Piryfikarb
Heptachloru epoksyd		Metkonazol		

	Piryproksyfen		Spinetoram A		Tiabendazol
	Prochloraz		Spinetoram B		Tiaklopyrd
	Procymidon		Spinosad A		Tiametoksam
	Profenofos		Spinosad D		Tidiazuron
	Prometryna		Spirodiklofen		Tienkarbendazon metylu
	Propachizafop		Spiroksamina		Tifensulfuron metylu
	Propachlor		Spirotetramat		Tiofanat metylu
	Propamokarb		Sulfotep		Tolilfluamid
	Propargit		Sulkotrion		Tolklofos-metylu
	Propikonazol		Sulprofos		Transflutryna
	Propoksur		Symazyna		Triadimenol
	Propoksykarbazon	T	Tau-fluwalinat		Triazofos
	Propyzamid		Tebufenpyrad		Tribenuron metylu
	Prosulfokarb		Tebukonazol		Trichlopyrd
	Protiofos		Tebutiuron		Trifloksystrobina
	Protiokonazol		Teflutryna		Triflumizol
	Pyraflufen etylu		Tembotrion		Trifluralina
	Pyraklostrobina		Tepraloksydym		Triflusulfuron metylu
	Pyridaben		Terbufos		Trineksapak etylu
	Pyriofenon		Terbutylazyna		Tritikonazol
	Pyroksulam		Tetrachlorwinfos	W	Walifenalat
R	Resmetryna		Tetradifon		Winklozolina
	Rimsulfuron		Tetrakonazol	Z	Zoksamid
S	Sedaksan		Tetrametryna		



**INSTYTUT BIOTECHNOLOGII
PRZEMYSŁU ROLNO-SPOŻYWCZEGO
im. prof. Wacława Dąbrowskiego
PAŃSTWOWY INSTYTUT BADAWCZY**

ZA ZAKŁAD BEZPIECZEŃSTWA
I ANALIZY CHEMICZNEJ ŻYWNOŚCI

RAKOWIECKA 36
02-532 WARSZAWA
T: +48 22 606 38 97
za@ibprs.pl